УДК 539.17.01,539.142,539.143

# ИЗУЧЕНИЕ ОСНОВНЫХ СОСТОЯНИЙ ЯДЕР <sup>6, 7, 9, 11</sup>Li МЕТОДОМ ФЕЙНМАНОВСКИХ КОНТИНУАЛЬНЫХ ИНТЕГРАЛОВ

© 2019 г. В. В. Самарин<sup>1, 2, \*</sup>, М. А. Науменко<sup>1</sup>

<sup>1</sup>Объединенный институт ядерных исследований, Дубна, Россия

<sup>2</sup>Государственное бюджетное образовательное учреждение высшего образования Московской области "Университет "Дубна", Дубна, Россия

\*E-mail: samarin@jinr.ru
Поступила в редакцию 01.10.2018 г.
После доработки 15.10.2018 г.
Принята к публикации 19.11.2018 г.

Энергия и квадрат модуля волновой функции основного состояния ядер  $^{6,7,11}$ Li вычислены методом континуальных интегралов Фейнмана в модели взаимодействия ядерного остова и внешних нуклонов. Для энергии получено согласие с экспериментальными данными. Продемонстрировано проявление в структуре ядер  $^6$ Li и  $^7$ Li соответственно дейтронного и тритонного кластеров. Для ядер  $^{7,9,11}$ Li также были проведены расчеты в оболочечной модели деформированного ядра. Обе модели позволили объяснить сильную деформацию ядра  $^7$ Li.

**DOI:** 10.1134/S0367676519040239

## **ВВЕДЕНИЕ**

Низкоэнергетические реакции с участием ядер трития, гелия, лития и бериллия [1] составляют значительную часть изученных и продолжающих изучаться в настоящее время ядерных реакций. Реакции с изотопами Li представляют значительный интерес с нескольких точек зрения. Ялра <sup>6-11</sup>Li с отношением числа нейтронов к числу протонов, изменяющимся от 1 до 2.67, и, следовательно, с существенно различной структурой предоставляют уникальную возможность для проверки различных микроскопических моделей [2]. Знание свойств и волновой функции основного состояния нуклидов лития необходимо для теоретического описания реакций с их участием. В простейшей оболочечной модели конфигураций <sup>6</sup>Li  $(n+p+\alpha)$  и <sup>7</sup>Li  $(n+n+\alpha)$  $+p+\alpha$ ) [1-6] внешние нуклоны в поле ядерного остова ( $\alpha$ -кластера) занимают состояние  $1p_{3/2}$  и проявляют свойства кластеров – дейтрона и тритона соответственно [7], поэтому ядра  $^{6}$ Li и  $^{7}$ Li можно рассматривать как системы трех и четырех тел. Ядро <sup>11</sup>Li также можно рассматривать как систему трех тел: двух слабосвязанных нейтронов и ядерного остова, близкого по свойствам к ядру  ${}^{9}$ Li.

Уравнение Шредингера в рамках задачи трех тел с ортогональным проектированием впервые было решено для ядра  $^6$ Li в работе [8]. В работе [9] уравнение Шредингера для трехтельной системы  $n+n+\alpha$  было решено с помощью разложений по гиперсферическим функциям (K-гармоникам). В работах [10, 11] волновые функции системы трех тел были получены с помощью гауссового базиса и численного решения системы интегральных уравне-

ний Хилла—Уилера (Hill—Wheeler). Более простую возможность вычисления энергии  $E_0$  и плотности вероятности  $|\Psi_0(\vec{r},...,\vec{r}_n)|^2$  для основного состояния n-частичной системы дает метод континуальных интегралов Фейнмана [12—18]. Его универсальность позволила в едином подходе выполнить расчеты для ряда малонуклонных ядер:  $^3$ H,  $^3$ ,  $^4$ ,  $^6$ He,  $^9$ Be [15—18]. В данной работе многотельные расчеты проведены для ядер  $^{6,7,11}$ Li, представленных в виде системы из ядерного остова и двух-трех внешних нуклонов. Применение оболочечной модели деформированного ядра к перечисленным ядрам, а также к ядру  $^9$ Li дает для структуры ядер картину, близкую к результатам многотельных расчетов.

## 1. ТЕОРЕТИЧЕСКИЙ АНАЛИЗ

Энергия  $E_0$  и квадрат модуля волновой функции основного состояния  $\left|\Psi_0\right|^2$  частицы массой m с потенциальной энергией V(q), зависящей от координаты q, могут быть найдены с помощью введенных Р. Фейнманом [12] континуальных интегралов (интегралов по траекториям) [12, 13] во мнимом (евклидовом) времени  $t=-i\tau$ . Континуальные интегралы можно представить в виде предела многократного интеграла [13—15]

$$K_{E}(q,\tau; q,0) = \lim_{\substack{N \to \infty \\ N\Delta \tau = \tau}} \times \left\{ -\frac{1}{\hbar} \sum_{k=1}^{N} \left[ \frac{m(q_{k} - q_{k-1})^{2}}{2\Delta \tau} + V(q_{k}) \Delta \tau \right] \right\} \times (1)$$

$$\times C^{N} dq_{1} dq_{2} \dots dq_{N-1},$$

где

$$C = \left(\frac{m}{2\pi\hbar\Delta\tau}\right)^{1/2}.$$
 (2)

Здесь значения координаты  $q_k = q(\tau_k)$ ,  $\tau_k = k\Delta \tau$ ,  $k = \overline{0,N}$ ,  $q_0 = q_N = q$  задают "траекторию" частицы в виде ломаной линии в плоскости  $(q,\tau)$  с вершинами  $(q_k,\tau_k)$ ,  $k = \overline{1,N-1}$ ,  $N \ge 2$ , при этом (N-1)-кратный интеграл соответствует усреднению по таким "траекториям"

$$K_{E}(q,\tau; q,0) \approx \left(\frac{m}{2\pi\hbar\tau}\right)^{1/2} \left\langle \exp\left[-\frac{\Delta\tau}{\hbar}\sum_{k=1}^{N}V(q_{k})\right]\right\rangle_{0,N}.$$
 (3)

Здесь и далее угловыми скобками  $\langle ... \rangle$  обозначено усреднение по случайным (N-1)-мерным векторам  $Q=\{q_1,\ldots,q_{N-1}\}$  с законом распределения  $W(q_0;q_1,\ldots,q_{N-1};q_N=q_0=q)$ 

$$W(q; q_1, ..., q_{N-1}; q) =$$

$$= C^{N-1} N^{1/2} \exp \left[ -\frac{m}{2\hbar \Delta \tau} \sum_{k=1}^{N} (q_k - q_{k-1})^2 \right].$$
 (4)

Усреднение может быть вычислено методом Монте-Карло [16—18]. Алгоритм моделирования случайного вектора с законом распределения (4) описан в работе [16].

Энергии  $E_0$ ,  $E_1$  и квадраты модуля волновой функции  $|\Psi_0(q)|^2$ ,  $|\Psi_1(q)|^2$  основного и первого возбужденного состояний определяют первые члены асимптотики пропагатора в пределе  $\tau \to \infty$  [14, 15]

$$K_{E}(q,\tau; q,0) \to |\Psi_{0}(q)|^{2} \exp\left(-\frac{E_{0}\tau}{\hbar}\right) + |\Psi_{1}(q)|^{2} \exp\left(-\frac{E_{1}\tau}{\hbar}\right) + \dots, \quad \tau \to \infty.$$
(5)

Для значений q и  $\tau$  таких, что

$$\left|\Psi_0(q)\right|^2 \gg \left|\Psi_1(q)\right|^2 \exp\left(-\frac{E_1 - E_0}{\hbar}\tau\right),$$
 (6)

энергию  $E_0$  можно найти как угловой коэффициент линейной части графика зависимости  $\hbar \ln K_E\left(q, \tau; q, 0\right)$  от  $\tau$ 

$$h \ln K_E(q, \tau; q, 0) = h \ln |\Psi_0(q)|^2 - E_0 \tau.$$
(7)

Для этого с учетом случайных погрешностей моделирования методом Монте-Карло в работах [16—18] была использована линейная регрессия. Формулы (1)—(7) естественным образом обобщаются на случаи большего числа степеней свобо-

ды. Приближенные значения квадрата модуля волновой функции основного состояния  $|\Psi_0(q)|^2$  в точках q ограниченной области финитного движения в работах [16—18] были найдены с помощью выражения

$$K_E(q,\tau; q,0) = |\Psi_0(q)|^2 \exp\left(-\frac{E_0 \tau}{\hbar}\right)$$
 (8)

при достаточно больших значениях  $\tau > T$ , соответствующих линейной части графика зависимости  $\hbar \ln K_E(q,\tau;q,0)$ . Поскольку волновая функция основного состояния не имеет узловых точек (линий или поверхностей) и не меняет знака, ненормированная волновая функция может быть найдена по формуле

$$\Psi_0(q) = \sqrt{K_E(q, \tau; q, 0)}. \tag{9}$$

Для удобства расчетов в масштабах действия ядерных сил удобно использовать безразмерные переменные  $\tilde{q}=q/x_0$ ,  $\tilde{V}=V(q)/\epsilon_0$ ,  $\tilde{E}_0=E_0/\epsilon_0$ ,  $\tilde{m}=m/m_0$ ,  $\tilde{\tau}=\tau/t_0$ ,  $\Delta \tilde{\tau}=\Delta \tau/t_0$ ,  $\tilde{K}_E=K_E x_0$ , где  $x_0=1$  фм,  $\epsilon_0=1$  МэВ,  $m_0$  — масса нейтрона,  $t_0=m_0x_0^2/\hbar\approx 1.57\cdot 10^{-23}$  с,  $b_0=t_0\epsilon_0/\hbar\approx 0.02412$ , тогда в области линейной части графика зависимости пропагатора от  $\tilde{\tau}$  (при  $\tilde{\tau}>\tilde{T}$ )

$$b_0^{-1} \ln \tilde{K}_E(\tilde{q}, \tilde{\tau}; \tilde{q}, 0) \approx b_0^{-1} \ln |\Psi_0(\tilde{q})|^2 - \tilde{E}_0 \tilde{\tau},$$
 (10)

$$\tilde{K}_{E}(\tilde{q},\tilde{\tau};\tilde{q},0)\approx$$

$$\approx x_0^{-1} \left( \frac{\tilde{m}}{2\pi \tilde{\tau}} \right)^{1/2} \left\langle \exp \left[ -\Delta \tilde{\tau} b_0 \sum_{k=1}^N \tilde{V}(\tilde{q}_k) \right] \right\rangle_{0,N}, \tag{11}$$

$$W(\tilde{q}; \tilde{q}_1, \ldots, \tilde{q}_{N-1}; \tilde{q}) =$$

$$= \tilde{C}^{N-1} N^{1/2} \exp \left[ -\frac{1}{2\Delta \tilde{\tau}} \sum_{k=1}^{N} (\tilde{q}_k - \tilde{q}_{k-1})^2 \right], \tag{12}$$

$$\tilde{C} = \left(\frac{\tilde{m}}{2\pi\Delta\tilde{\tau}}\right)^{1/2}.\tag{13}$$

В общем случае эффективные парные центральные потенциалы нуклон-нуклонного взаимодействия нуклонов 1 и 2 могут быть представлены в виде [19]

$$V(r) = v_0(r) + v_{\sigma}(r)\vec{\sigma}_1\vec{\sigma}_2 + v_{\tau}(r)\vec{\tau}_1\vec{\tau}_2 + v_{\sigma\tau}(r)(\vec{\sigma}_1\vec{\sigma}_2)(\vec{\tau}_1\vec{\tau}_2),$$

$$(14)$$

где r — расстояние между нуклонами,  $\vec{\sigma}_1$ ,  $\vec{\sigma}_2$  — спиновые операторы (матрицы) Паули,  $\vec{\tau}_1$ ,  $\vec{\tau}_1$  — операторы изоспина. В данной работе использована сокращенная форма

$$V(r) = v_0(r) + v_{\sigma}(r)\vec{\sigma}_1\vec{\sigma}_2 + v_{\tau}(r)\vec{\tau}_1\vec{\tau}_2 \tag{15}$$

с тремя функциями  $v_0(r), v_{\sigma}(r), v_{\tau}(r)$ , для определения которых можно использовать значения энер-

гии основного состояния ядер  $^2$ H и  $^3$ H. Для четного триплетного состояния протона и нейтрона в дейтроне потенциал

$$V_{p-n}^{(1^{+})}(r) = v_0(r) + v_{\sigma}(r) - 3v_{\tau}(r)$$
 (16)

должен объяснять наличие единственного связанного состояния с энергией 2.225 МэВ и среднеквадратичным зарядовым радиусом 2.14 фм [3].

Известно, что спин основного состояния ядра  $^3$ Н равен 1/2, при этом по принципу Паули спины нейтронов должны быть антипараллельны. Для конфигурации ядра  $^3$ Н такой, что параллельны спины протона с радиусом-вектором  $\vec{r}_3$  и нейтрона с радиусом-вектором  $\vec{r}_1$ , потенциальная энергия взаимодействия нуклонов в ядре  $^3$ Н может быть представлена в виде суммы парных взаимодействий нуклонов друг с другом

$$V = V_{n-n}^{(0^+)} (|\vec{r}_1 - \vec{r}_2|) + V_{p-n}^{(1^+)} (|\vec{r}_1 - \vec{r}_3|) + V_{p-n}^{(0^-)} (|\vec{r}_2 - \vec{r}_3|). (17)$$

Здесь  $V_{p-n}^{(0^-)}$  и  $V_{n-n}^{(0^+)}$  — синглетные потенциалы взаимодействия соответственно протона с нейтроном и нейтрона с нейтроном

$$V_{p-n}^{(0^{-})}(r) = V_0(r) - 3V_{\sigma}(r) - 3V_{\tau}(r), \tag{18}$$

$$V_{n-n}^{(0^+)}(r) = V_0(r) - 3V_{\sigma}(r) + V_{\tau}(r). \tag{19}$$

Потенциалы (18), (19) не должны приводить к наличию связанных состояний.

Выражение (17) несимметрично по отношению к перестановке нейтронов. При его использовании в гамильтониане вместо общего выражения (14) оно привело бы к некоммутативности гамильтониана с оператором перестановки тождественных частиц. В подходе, примененном в данной работе, гамильтониан не используется явно, а свойство симметрии координатной волновой функции обеспечивается дополнительной процедурой симметризации (см. далее). Это позволяет в начальном приближении использовать выражение (17) при вычислении пропагатора для ядра <sup>3</sup>Н.

Функции  $v_0(r), v_{\sigma}(r), v_{\tau}(r)$  выражаются через перечисленные потенциалы

$$v_0(r) = \frac{3}{4} V_{p-n}^{(1^+)}(r) - \frac{1}{2} V_{p-n}^{(0^-)}(r) + \frac{3}{4} V_{n-n}^{(0^+)}(r), \qquad (20)$$

$$v_{\sigma}(r) = \frac{1}{4} V_{p-n}^{(1^{+})}(r) - \frac{1}{4} V_{p-n}^{(0^{-})}(r), \qquad (21)$$

$$V_{\tau}(r) = -\frac{1}{4} V_{p-n}^{(0^{-})}(r) + \frac{1}{4} V_{n-n}^{(0^{+})}(r). \tag{22}$$

В работах [16—18] при расчетах пропагатора  $\tilde{K}_E(\tilde{q},\tilde{\tau};\tilde{q},0)$  для ядер <sup>2,3</sup>H, <sup>3,4</sup>He были использованы эффективные парные потенциалы сильного взаимодействия в виде линейных комбинаций

гауссовых экспонент с отталкивательным кором, сходные с известным потенциалом M3Y (см., например, [20, 21])

$$V_{p-n}^{(1^{+})}(r) = \sum_{k=1}^{3} u_k \exp\left(-r^2/b_k^2\right), \tag{23}$$

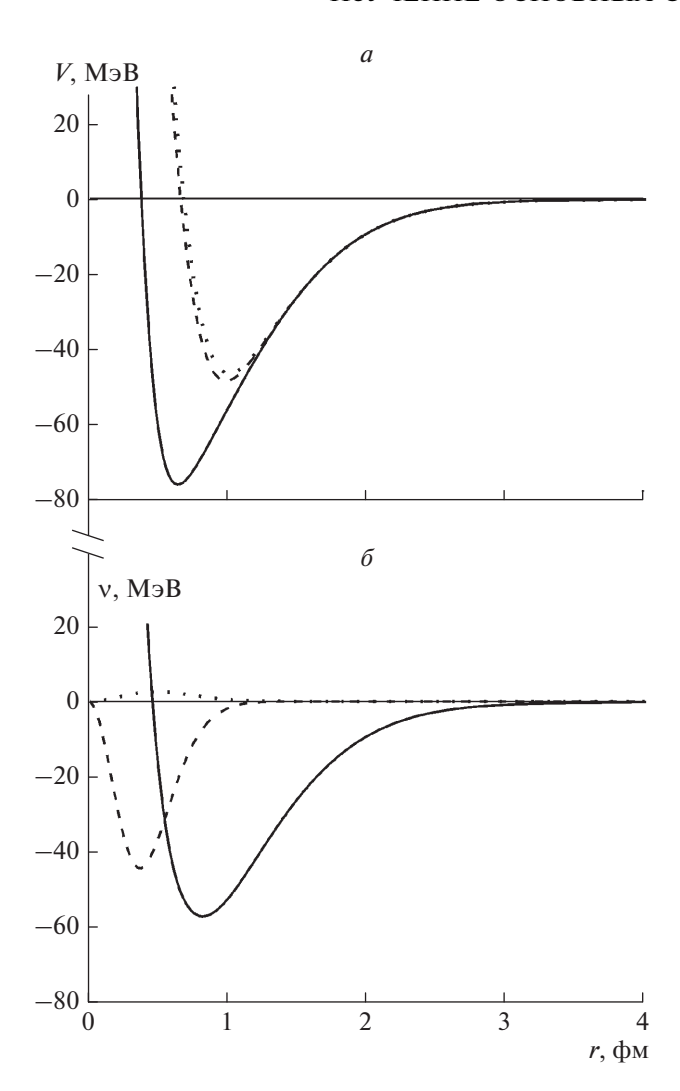
$$V_{p-n}^{(0^{-})}(r) = \sum_{k=1}^{3} u_k \exp\left(-r^2/d_k^2\right), \tag{24}$$

$$V_{n-n}^{(0^+)}(r) = \sum_{k=1}^{3} u_k \exp\left(-r^2/c_k^2\right).$$
 (25)

Для ядра  $^2$ Н потенциал (23) с набором параметров  $u_1 = 500$  МэВ,  $u_2 = -102$  МэВ,  $u_3 = -2$  МэВ,  $b_1 = 0.296$  фм,  $b_2 = c_2 = d_2 = 1.26$  фм,  $b_3 = c_3 = d_3 = 2.67$  фм дает значения энергии  $E_0 = -2.226$  МэВ и среднеквадратичного зарядового радиуса 1.92 фм, достаточно близкие к экспериментальным значениям. Числовые значения остальных параметров,  $d_1$  и  $c_1$ , были определены в работе [16] из условия близости вычисленных значений энергий связи ядер  $^{2,3}$ Н,  $^{3,4}$ Не к экспериментальным значениям, в частности, для ядра  $^3$ Н энергия связи равна 8.48 МэВ. Примеры графиков эффективных потенциалов (23)—(25) и функций  $v_0(r)$ ,  $v_{\sigma}(r)$ ,  $v_{\tau}(r)$  показаны на рис. 1.

Для основных состояний ядер, содержащих не более двух тождественных нуклонов, расчеты по формулам (10)—(12) можно проводить без учета принципа Паули. Принцип Паули можно не учитывать и для ядер  $^{6,7,11}$ Li, если рассматривать их как систему из остова и внешних нуклонов с конфигурациями  $\{p,n\},\{p,n,n\}$  и  $\{n,n\}$ , соответственно. В ядрах  $^{6,7}$ Li в качестве остова естественно выбрать  $\alpha$ -кластер, остов ядра  $^{11}$ Li будем считать подобным ядру  $^{9}$ Li. В таком случае в рассматриваемых системах будет не более двух тождественных нуклонов.

Ядерную часть эффективного потенциала взаимодействия нуклона с ядерным остовом можно выбрать аналогичной псевдопотенциалу [22], используемому в физике металлов для описания взаимодействия внешних электронов (из зоны проводимости) с атомными остовами. Внутри атомного остова иона псевдопотенциал имеет простой вид (в частности, может быть постоянным), при этом вне атомного остова решения уравнения Шредингера с псевдопотенциалом и реальным потенциалом атома мало отличаются друг от друга. Энергия основного состояния электрона в псевдопотенциале близка к энергии самого верхнего занятого уровня атома. Наличие отталкивательных коров в используемых в данной работе псевдопотенциалах объясняется наличием отталкивательных коров в потенциалах нуклон-нуклонного взаимодействия. Энергия основного состояния в системе остов-



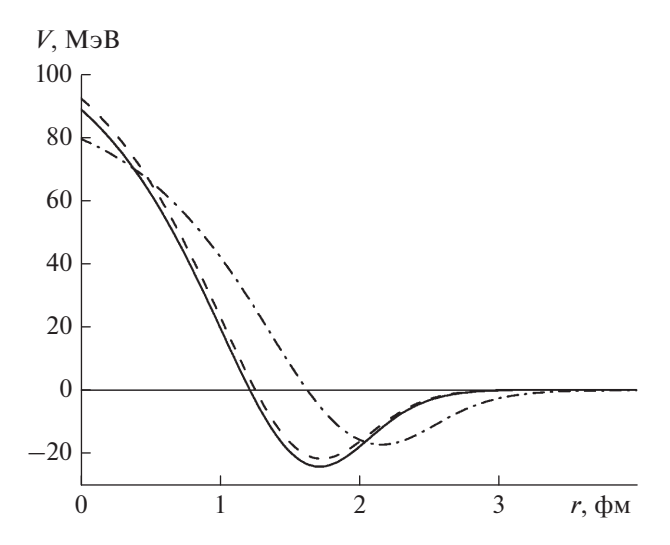
**Рис. 1.** Графики: a — эффективных потенциалов (23) (сплошная линия), (24) (штриховая линия), (25) (точечная линия);  $\delta$  — функций  $v_0(r)$  (сплошная линия),  $v_{\sigma}(r)$  (штриховая линия),  $v_{\tau}(r)$  (точечная линия).

нуклон оказывается близкой к энергии самого верхнего заполненного уровня оболочечной модели ядра. При этом состояния нуклонов ядерного остова, соответствующие нижележащим уровням, оказываются исключенными (запрещенными).

В работах [16—18] при расчетах пропагатора  $\tilde{K}_E\left(\tilde{q},\tilde{\tau};\,\tilde{q},0\right)$  для ядер <sup>6</sup>He, <sup>6</sup>Li потенциалы сильного взаимодействия  $\alpha$ -кластера с нейтроном и протоном  $V_{n-\alpha}(r)\equiv V_{p-\alpha}^{(N)}(r)$  были выбраны в виде линейных комбинаций функций типа Вудса—Саксона (фермиевского распределения)

$$f(r; a, B) = \left[1 + \exp\left(\frac{r - a}{B}\right)\right]^{-1}$$
. (26)

В данной работе парный псевдопотенциал сильного взаимодействия  $\alpha$ -кластера с нейтроном и



**Рис. 2.** Графики псевдопотенциалов взаимодействия нейтрона с α-кластером в ядрах  $^6$ Li (сплошная линия),  $^7$ Li (штриховая линия) и с ядерным остовом  $^9$ Li) (штрихпунктирная линия) в ядре  $^{11}$ Li.

протоном  $V_{n-\alpha}(r) \equiv V_{p-\alpha}^{(N)}(r)$  для ядер <sup>6</sup>Li и <sup>7</sup>Li и парный псевдопотенциал сильного взаимодействия ядерного остова с нейтроном для ядра <sup>11</sup>Li были выбраны в виде функции

$$U(r) = -U_1 f(r; a_1, B_1) + U_2 f(r; a_2, B_2) + + U_3 f(r; a_3, B_3) f(r; a_4, B_4).$$
 (27)

Примеры графиков парных псевдопотенциалов сильного взаимодействия  $\alpha$ -кластера и ядерного остова  $\{^9\mathrm{Li}\}$  с нейтроном показаны на рис. 2; их обсуждение приводится в следующем разделе. Потенциал взаимодействия протона с  $\alpha$ -кластером  $V_{p-\alpha}(r)$  включал ядерную (N) и кулоновскую (C) части

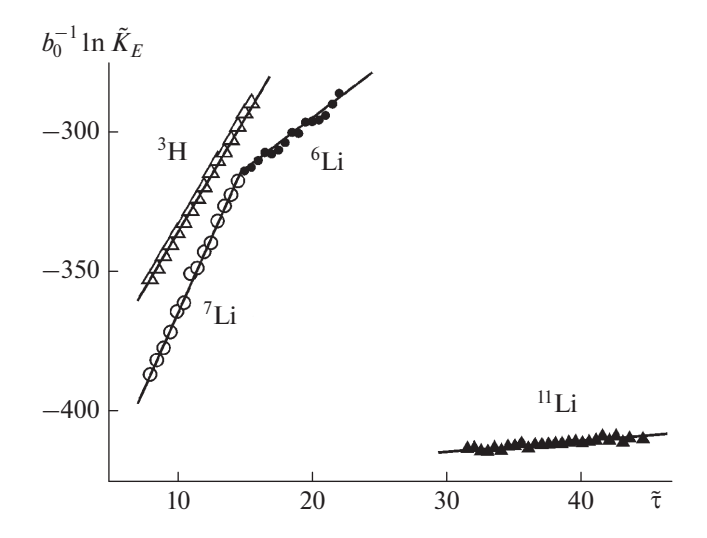
$$V_{p-\alpha}(r) = V_{p-\alpha}^{(N)}(r) + V_{p-\alpha}^{(C)}(r).$$
 (28)

Для кулоновской части взаимодействия использовалось известное выражение для энергии точечного заряда в поле равномерно заряженного шара.

Вычисления для ядер <sup>3</sup>H, <sup>6</sup>Li и <sup>11</sup>Li, рассматриваемых соответственно как системы n+n+p,  $n+p+\alpha$  и  $n+n+\{^9\text{Li}\}$ , выполнялись в системе центра масс с использованием координат Якоби (см., например, [13]) для системы трех частиц с массами  $m_1$ ,  $m_2$ ,  $m_3$ 

$$\vec{y} = \vec{r_3} - \frac{1}{2}(\vec{r_1} + \vec{r_2}). \tag{29}$$

Для ядер <sup>3</sup>H, <sup>11</sup>Li в качестве  $\vec{r_1}$ ,  $\vec{r_2}$  выбирались радиусы-векторы нейтронов с  $m_1 = m_2 = m$ , для ядра <sup>6</sup>Li — радиусы-векторы нейтрона и протона с равными массами  $m_1 \approx m_2 = m$ . Для ядра <sup>7</sup>Li, пред-



**Рис. 3.** Линейные части графиков зависимости нормированного логарифма пропагатора  $b_0^{-1} \ln \tilde{K}_{\rm E}$  от мнимого времени  $\tilde{\tau}$  для ядер <sup>3</sup>H (светлые треугольники), <sup>7</sup>Li (кружки), <sup>6</sup>Li (точки) и <sup>11</sup>Li (черные треугольники): прямые — результаты линейной регрессии (расчет методом Монте-Карло для  $n=7\cdot 10^7$  траекторий с шагом сетки  $\Delta \tilde{\tau}=0.003$ ).

ставленного как система  $n + n + p + \alpha$ , использовались координаты Якоби для системы четырех частиц с массами  $m_1 = m_2 = m_3 = m$ ,  $m_3 = M$ 

$$\vec{x} = \vec{r}_2 - \vec{r}_1, \quad \vec{y} = \frac{1}{2} (\vec{r}_1 + \vec{r}_2) - \vec{r}_3,$$

$$\vec{z} = \frac{1}{3} (\vec{r}_1 + \vec{r}_2 + \vec{r}_3) - \vec{r}_4.$$
(30)

Вычисления по формулам (8), (9) с потенциальной энергией, несимметричной по отношению к перестановке нейтронов с радиусами-векторами  $\vec{r_1}$ ,  $\vec{r_2}$ , дает координатную волновую функцию, также несимметричную по отношению к перестановке нейтронов

$$\Phi_0(\vec{r}_1, \vec{r}_2, \vec{r}_3) = \sqrt{K_E(\vec{r}_1, \vec{r}_2, \vec{r}_3, \tau; \vec{r}_1, \vec{r}_2, \vec{r}_3, 0)}.$$
 (31)

Из-за асимметричности спиновой волновой функции по отношению к перестановке нейтронов с антипараллельными спинами координатная волновая функция должна быть симметрична по отношению к перестановке нейтронов. Такую (ненормированную) волновую функцию можно получить, образовав симметричную комбинацию

$$\Psi_{S}(\vec{r}_{1}, \vec{r}_{2}, \vec{r}_{3}) = \Phi_{0}(\vec{r}_{1}, \vec{r}_{2}, \vec{r}_{3}) + \Phi_{0}(\vec{r}_{2}, \vec{r}_{1}, \vec{r}_{3})$$
(32)

или в координатах Якоби

$$\Psi_{S}(\vec{x}, \vec{y}) = \Phi_{0}(\vec{x}, \vec{y}) + \Phi_{0}(-\vec{x}, \vec{y}). \tag{33}$$

Плотность вероятности в координатах Якоби  $\rho(\vec{x}, \vec{y}) = \left| \Psi_S(\vec{x}, \vec{y}) \right|^2$  имеет свойство симметрии по

отношению к инверсии вектора  $\vec{x}$ :  $\rho(\vec{x}, \vec{y}) = \rho(-\vec{x}, \vec{y})$ . Подобная симметризация по отношению к перестановке нейтронов нужна и для ядра <sup>7</sup>Li. Для ядра <sup>11</sup>Li взаимодействие внешних нейтронов с остовом в простейшем приближении будем считать не зависящим от спинов нейтронов, тогда симметричная по отношению к перестановкам нейтронов потенциальная энергия

$$V = V_{n-n}^{(0^+)}(|\vec{r}_1 - \vec{r}_2|) + U(|\vec{r}_1 - \vec{r}_3|) + U(|\vec{r}_2 - \vec{r}_3|)$$
(34)

приводит к симметричной по отношению к перестановке нейтронов волновой функции основного состояния

$$\Psi_0(\vec{x}, \vec{y}) = \sqrt{K_E(\vec{x}, \vec{y}, \tau; \vec{x}, \vec{y}, 0)}. \tag{35}$$

#### 2. РЕЗУЛЬТАТЫ И ОБСУЖЛЕНИЕ

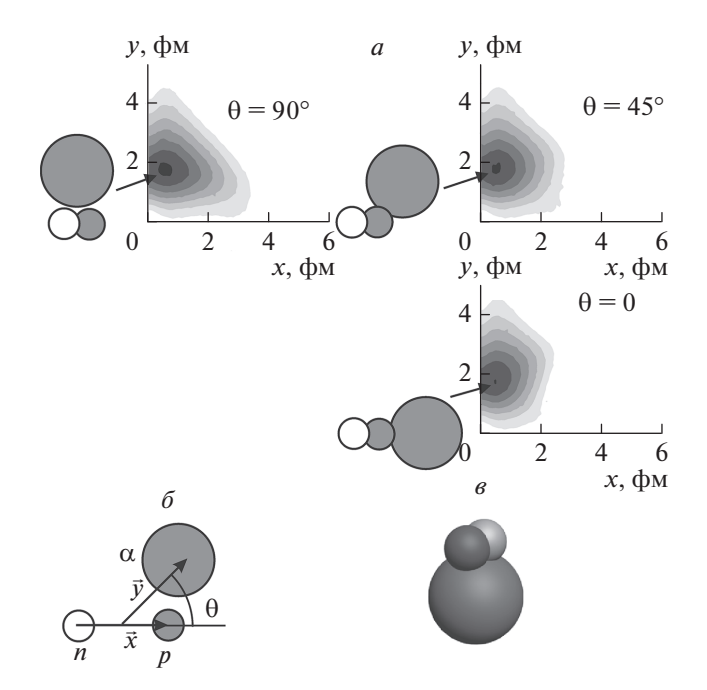
Для реализации расчетов средних по случайным траекториям была использована технология СUDA параллельных вычислений на графических процессорах [23—25]. Расчеты были выполнены на гетерогенном кластере "HybriLIT" [26] Лаборатории информационных технологий Объединенного института ядерных исследований. Для определения энергии  $E_0$  основного состояния ядер <sup>3</sup>Н и <sup>6, 7, 11</sup>Li численные расчеты пропагатора (11) проводились с числом траекторий  $n \sim 10^6 - 10^8$  и шагом сетки по мнимому времени  $\Delta \tilde{\tau} = 0.003$ . Результаты показаны на рис. 3.

Графики потенциалов (23)-(25) и псевдопотенциалов (27) показаны соответственно на рис. 1 и 2. Значения параметров потенциалов и псевдопотенциалов были подобраны из условия совпадения с точностью до трех значащих цифр теоретического значения  $(-E_0)$  с экспериментальной энергией разделения ядер $^3$ H,  $^7$ Li и  $^6$ Li на составляющие нуклоны (3H) или внешние нуклоны и α-кластер (<sup>7</sup>Li и <sup>6</sup>Li), соответственно 8.48, 10.9 и 3.70 МэВ [3]. Для ядра <sup>11</sup>Li из-за малости энергии разделения  $(0.369 \text{ M} \ni \text{B})$  на нейтроны и остов  $\{^9\text{Li}\}$  совпадение ограничивалось двумя значащими цифрами. Относительная погрешность углового коэффициента в формуле (11) определялась с помощью линейной регрессии (см. рис. 3) и составляла несколько процентов. Для нуклон-нуклонных потенциалов (24), (25) были использованы незначительно измененные по сравнению с работой [16] значения параметров  $d_1=0.490\,$  фм,  $c_1=0.504\,$  фм. Для трех изотопов  $^{6,\,7,\,11}$ Li были использованы единые значения параметров  $U_2=$ = 55.8 M<sub>2</sub>B,  $B_1 = 0.25 \, \text{фM}$ ,  $B_2 = 0.3 \, \text{фM}$ ,  $B_3 = 0.5 \, \text{фM}$ ,  $B_4 = 1 \, \text{фм}$ ; значения остальных параметров псевдопотенциалов (27) приведены в таблице. Небольшие различия графиков псевдопотенциалов взаимодействия нейтрона с α-кластером (27) для

ядер <sup>6</sup>Li и <sup>7</sup>Li можно объяснить поляризацией α-кластера в различном поле внешних нуклонов. В частности, несколько больший радиус отталкивательного кора у ядра <sup>7</sup>Li обусловлен бо́льшим числом таких нуклонов.

Рассмотрим свойства волновой функции  $\Psi_0$  и плотности вероятности  $\left|\Psi_{0}\right|^{2}$  для ядер  $^{6,\,7,\,11}$ Li. Найденное по формуле (8) распределение ненормированной плотности вероятности  $\tilde{K}_E(\vec{x}, \vec{y}, \tilde{\tau}; \vec{x}, \vec{y}, 0) =$  $= ilde{K}_{E}\left(x,y,\cos heta; ilde{ au}
ight)$  для трех значений угла heta трехтельной конфигурации ядра  $^{6}$ Li  $(n + p + \alpha)$  показано на рис. 4а. Результаты для четырехтельной конфигурации ядра <sup>7</sup>Li  $(n + n + p + \alpha)$  в частном случае расположения нуклонов в вершинах правильного треугольника со стороной x и  $\alpha$ -кластера на расстоянии д от центра треугольника приведены на рис. 5а. В работе [16] было показано, что подобное расположение нуклонов наиболее вероятно в ядре <sup>3</sup>Н (см. также далее). Видно, что наиболее вероятными являются конфигурации с объединением внешних нуклонов соответственно в дейтронный кластер для  $^6$ Li ( $d + \alpha$ , рис. 4e) и в тритонный кластер для  $^{7}$ Li ( $t + \alpha$ , рис. 5 $\theta$ ). Косвенным полтверждением этого является сравнительно небольшая энергия отделения этих кластеров — соответственно 1.47 и 2.47 МэВ, а также близость энергии отделения нейтрона от ядер  $^{7}$ Li и  $^{3}$ H — соответственно 7.25 и 6.26 МэВ.

Представленная на рис. 5в модель согласуется с известными представлениями о форме ядер 7Li и <sup>9</sup>Li. Из экспериментальных значений квадрупольных моментов были получены значения параметров квадрупольной деформации  $\beta_2$  для <sup>7</sup>Li от -0.9 до -1.5, для  ${}^{9}$ Li от -0.6 до -0.8 [27]. Сильно сплюснутая форма ядра <sup>7</sup>Li может соответствовать усреднению по всевозможным поворотам системы  $t + \alpha$  вокруг направления (оси симметрии), перпендикулярного межкластерной оси. Добавление двух внешних нейтронов делает ядро <sup>9</sup>Li менее сплюснутым, что можно связать с поляризацией кластера в поле нейтронов. Некоторое уменьшение деформации до  $\beta_2$  ≈ -0.6 у ядра <sup>11</sup>Li можно рассматривать как следствие влияния протяженной гало-оболочки внешних нейтронов на ядерный остов, подобный ядру <sup>9</sup>Li. В качестве дополнительной молели ялер 7,9,11Li была ис-



**Рис. 4.** Плотность вероятности (a) в координатах Якоби x, y (b) с примерами положения нейтрона (светлые кружки), протона (темные малые кружки),  $\alpha$ -кластера (темные большие кружки) и трехмерная модель (b) конфигурации ядра  $^{6}$ Li ( $n+p+\alpha$ ). Наиболее вероятной является конфигурация с объединением протона и нейтрона в дейтронный кластер ( $d+\alpha$ ).

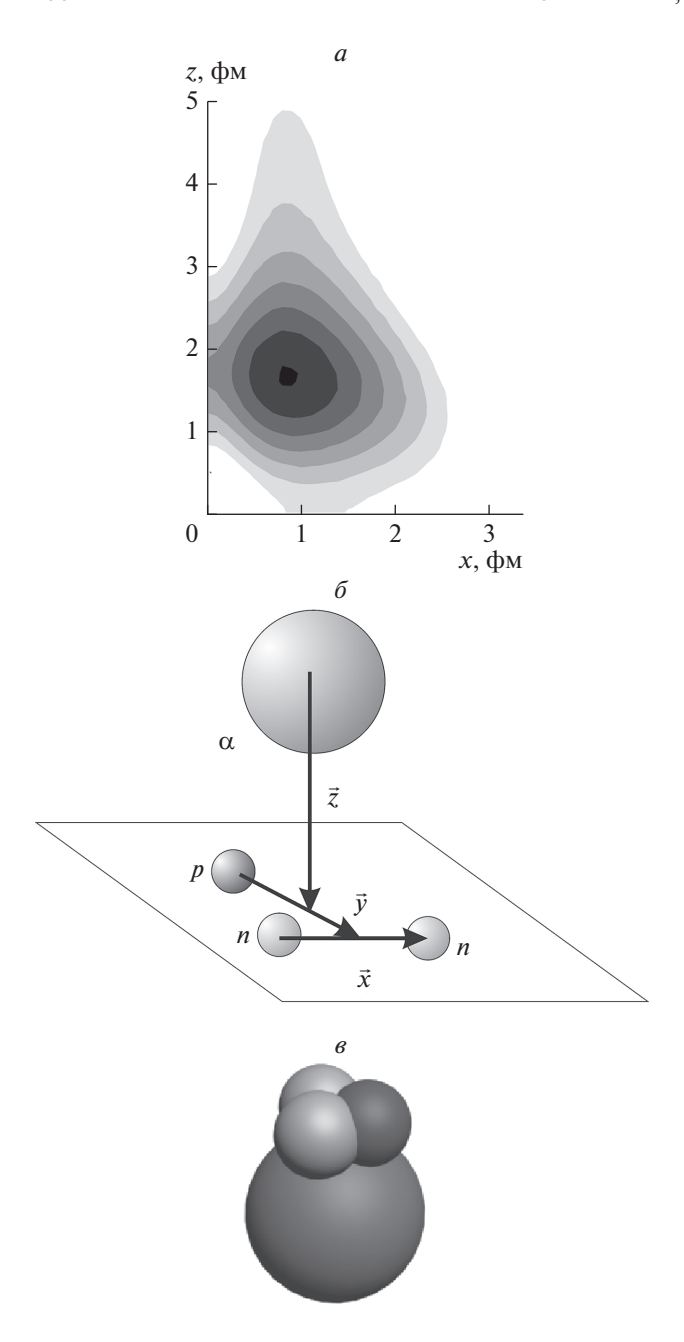
пользована оболочечная модель деформированного ядра с потенциалом Вудса—Саксона

$$U(r,\cos\theta) = -U_0 \left\{ 1 + \exp\left[\frac{r - R_U g_{\beta}(\cos\theta)}{a_U}\right] \right\}^{-1}, (36)$$

где функция  $g_{\beta}(\cos\theta)$  приведена в [28]. Расчеты в оболочечной модели деформированного ядра методом, приведенным в [29], дали энергии  $\varepsilon$  верхних заполненных уровней ядер  $^{7, 9, 11}$ Li, приблизительно равные взятым с противоположным знаком экспериментальным значениям энергии отделения нейтронов. Полученные схемы уровней нейтронов приведены на рис. 6a. Плотности вероятности для нейтронов ядра  $^9$ Li в цилиндрической системе координат показаны на рис. 6a. Для ядра  $^7$ Li и ядерного остова  $\{^9$ Li $\}$  картина будет аналогичной. Видно, что заселение нуклона-

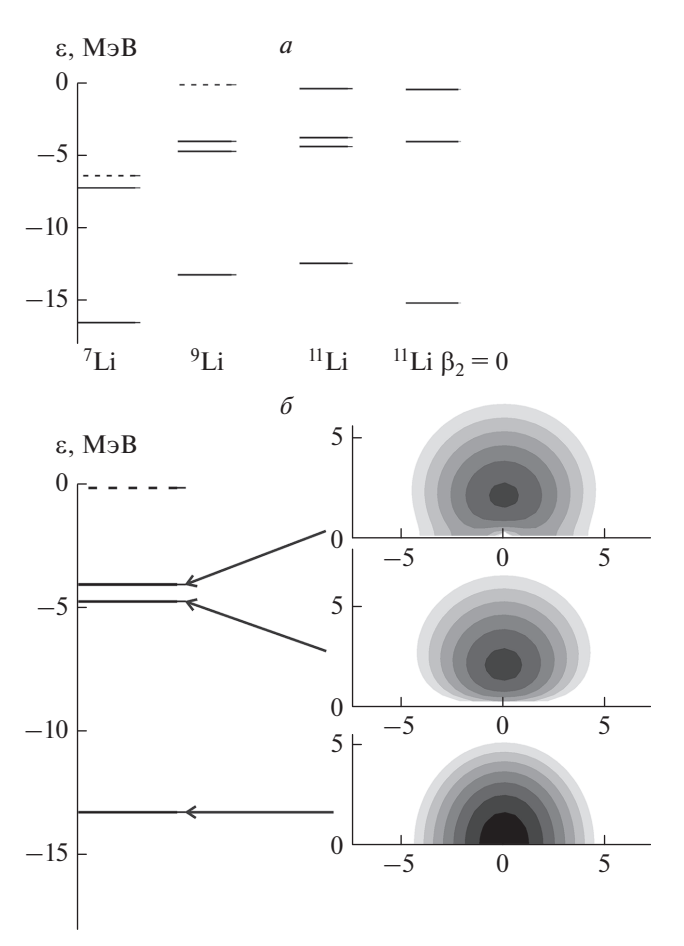
**Таблица 1.** Параметры псевдопотенциала (27) сильного взаимодействия внешних нуклонов с остовами ядер <sup>6, 7, 11</sup>Li

Ядро	$U_1$ , МэВ	$U_3$ , МэВ	$a_{ m l}$ , фм	$a_2$ , фм	$a_3$ , фм	$a_4$ , фм
<sup>6</sup> Li	66.33	126	1.95	1.22	0.9	2.7
<sup>7</sup> Li	63.54	126	1.95	1.22	0.9	2.7
<sup>11</sup> Li	35.32	72	2.45	1.5	1	2.8



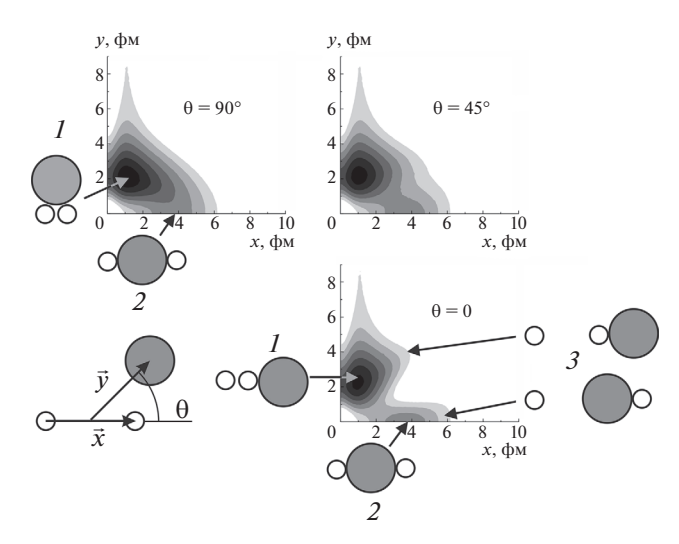
**Рис. 5.** Плотность вероятности (*a*) в координатах Якоби *x*, *y*, *z* (*б*) и трехмерная модель (*в*) для четырехтельной конфигурации ядра  $^{7}$ Li ( $n+n+p+\alpha$ ). Наиболее вероятной является конфигурация с объединением протона и двух нейтронов в тритонный кластер ( $t+\alpha$ ). Обозначения такие же, как на рис. 4.

ми двух нижних уровней с квантовыми числами  $|m_j| = 1/2$ ,  $|m_j| = 3/2$  ( $|m_j|$  — модуль проекции полного углового момента нуклона на ось симметрии ядра) дает распределение плотности вероятности, соответствующее сплюснутой форме ядра <sup>7</sup>Li. Заселение третьего уровня с  $|m_j| = 1/2$  в ядре <sup>9</sup>Li ведет к некоторому уменьшению параметра квадру-



**Рис. 6.** a — схемы уровней нейтронов ядер  ${}^{7}$ Li,  ${}^{9}$ Li и  ${}^{11}$ Li в оболочечной модели деформированного ядра и в оболочечной модели сферического ядра  ${}^{11}$ Li ( $\beta_2=0$ ), сплошные отрезки — занятые уровни, штриховые — свободные;  $\delta$  — плотности вероятности в цилиндрических координатах (по горизонтали — ось симметрии) для трех низших уровней нейтронов с квантовыми числами  $|m_j|=1/2$ ,  $|m_j|=3/2$ ,  $|m_j|=1/2$  в оболочечной модели деформированного ядра  ${}^{9}$ Li.

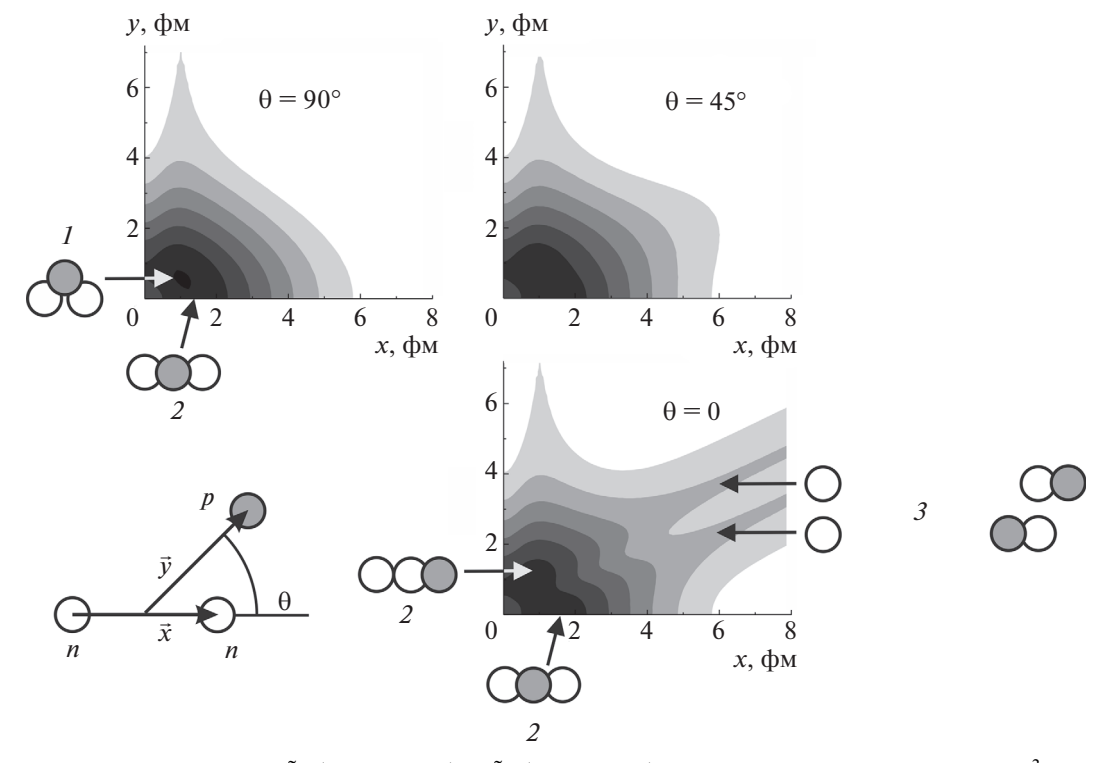
польной деформации. Двум нейтронам и двум протонам на глубоких низших уровнях, соответствующих уровню  $1s_{1/2}$  сферического ядра с проекцией полного момента на ось симметрии ядра  $|m_j|=1/2$ , отвечает ядерный остов, близкий к поляризованному  $\alpha$ -кластеру. Два внешних нейтрона ядра  $^7$ Li на подуровне с проекцией полного момента на ось симметрии ядра  $|m_j|=3/2$ , соответствующем уровню  $1p_{3/2}$  сферического ядра, могут считаться довольно сильно связанными с ядерным остовом — энергия их отделения равна 7.25 МэВ. В ядре  $^9$ Li энергия этого подуровня заметно выше, а для вышележащего подуровня с  $|m_j|=1/2$  энергия отделения равна 4.06 МэВ.



**Рис. 7.** Плотность вероятности для трехтельной конфигурации ядра  $^{11}$ Li  $(n + n + {}^{9}$ Li); обозначения те же, что на рис. 4. Наиболее вероятна конфигурация 1 с динейтронным кластером; линейная (сигарообразная) конфигурация 2 имеет существенно меньшую вероятность. Конфигурация 3  $(n + {}^{10}$ Li)) еще менее вероятна.

В деформированном ядре  $^{11}$ Li энергии подуровней с  $|m_j|=3/2$  и  $|m_j|=1/2$ , соответствующих уровню  $1p_{3/2}$  сферического ядра, оказываются

близкими. Это позволяет с достаточной точностью использовать для ядра 11 Li сферическую оболочечную модель с тремя заполненными нейтронными оболочками:  $1s_{1/2}$  (в поляризованном альфа-кластерном остове),  $1p_{3/2}$  (первая внутренняя оболочка) и  $1p_{1/2}$  (внешняя гало-оболочка). Соответственно, остов ядра 11Li с достаточной точностью можно считать сферически симметричным, а псевдопотенциал взаимодействия остова с внешними нейтронами – центральным (см. рис. 2). Распределение плотности вероятности  $\tilde{K}_E\left(\vec{x},\vec{y},\tilde{ au};\,\vec{x},\vec{y},0\right)=\tilde{K}_E\left(x,y,\cos\theta;\,\tilde{ au}\right)$  для трех углов  $\theta$  трехтельной конфигурации ядра  $^{11}$ Li (n+ $+ n + {}^{9}\text{Li}$ ) показано на рис. 7. Наиболее вероятна конфигурация с динейтронным кластером; линейная (сигарообразная) конфигурация имеет сушественно меньшую вероятность. Для сравнения на рис. 8 приведена топография пропагатора  $ilde{K}_{E}(ec{x},ec{y}, ilde{ au};ec{x},ec{y},0)= ilde{K}_{E}(x,y,\cos heta; ilde{ au})$  для трех значений угла θ трехтельной конфигурации ядра <sup>3</sup>H (n + n + p). В показанной картине благодаря большой разнице между энергиями основного  $(-8.48 \text{ M} \rightarrow \text{B})$  и первого возбужденного  $(-2.22 \text{ M} \rightarrow \text{B})$ состояний заметно присутствие плотности вероятности двух состояний согласно формуле (5). Ос-



**Рис. 8.** Топография пропагатора  $\tilde{K}_E(\vec{x}, \vec{y}, \tilde{\tau}; \vec{x}, \vec{y}, 0) = \tilde{K}_E(x, y, \cos \theta; \tilde{\tau})$  в координатах Якоби  $\vec{x}, \vec{y}$  для ядра <sup>3</sup>Н (n + n + p); обозначения те же, что на рис. 4 и 7. Основному состоянию ядра <sup>3</sup>Н отвечают треугольное I и линейное (сигарообразное) I расположения нуклонов; расположение нуклонов I соответствует первому возбужденному состоянию с разделением ядра <sup>3</sup>Н на нейтрон и дейтрон I на нейтрон I на нейт

новному состоянию ядра <sup>3</sup>Н отвечают треугольное и линейное (сигарообразное) расположение нуклонов. В области, где выполнено условие

$$|\Psi_0(x, y, \cos \theta)|^2 \ll |\Psi_1(x, y, \cos \theta)|^2 \times \exp\left(-\frac{E_1 - E_0}{\hbar}\tau\right), \tag{37}$$

проявляется первое возбужденное состояние с разделением на нейтрон и дейтрон n + d.

#### **ЗАКЛЮЧЕНИЕ**

Предложенный поход к расчетам волновой функции основного состояния ядер <sup>6, 7, 9, 11</sup>Li может служить полезным дополнением к существующим более сложным теоретическим методам. Он позволяет достаточно просто определить энергию основного состояния и установить ее зависимость от параметров нуклон-нуклонного потенциала. Анализ свойств плотности вероятности позволяет подобрать аналитические аппроксимации для волновой функции основного состояния и сделать более реалистичным выбор среднего поля оболочечной модели, а также распределения заряда и массы в ядрах. Все это может быть полезным при теоретическом описании реакций с участием изотопов лития и других легких ядер.

# СПИСОК ЛИТЕРАТУРЫ

- Пенионжкевич Ю.Э. // ЯФ. 2011. Т. 74. С. 1641; Penionzhkevich Yu.E. // Phys. Atom. Nucl. 2011. V. 74. P. 1615.
- 2. Пенионжкевич Ю.Э., Соболев Ю.Г., Самарин В.В. и др. // ЯФ. 2017. Т. 80. С. 525; Penionzhkevich Yu.E., Sobolev Yu.G., Samarin V.V. et al. // Phys. Atom. Nucl. 2017. V. 70. P. 928.
- 3. Заеребаев В.И., Деникин А.С., Карпов А.В. и др. // Сетевая база знаний NRV по ядерной физике низких энергий. http://nrv.jinr.ru/; Zagrebaev V.I., Denikin A.S., Karpov A.V. et al. // NRV web knowledge base on low-energy nuclear physics. http://nrv.jinr.ru/.
- 4. Карпов А.В., Деникин А.С., Алексеев А.П. и др. // ЯФ. 2016. Т. 79. С. 520; Karpov A.V., Denikin A.S., Alekseev A.P. et al. // Phys. Atom. Nucl. 2016. V. 79. P. 749.
- Karpov A.V., Denikin A.S., Naumenko M.A. et al. // Nucl. Instrum. Methods Phys. Res. Sect. A. 2017. V. 859. P. 112.
- 6. *Соловьев В.Г.* Теория атомного ядра: ядерные модели. М.: Энергоиздат, 1981. 296 с.
- 7. von Oertzen W., Freer M., Kanada En'yo Y. // Phys. Rep. 2006. V. 432. P. 43.

- 8. Voronchev V.T., Krasnopol'sky V.M., Kukulin V.I. // J. Phys. G. 1982. V. 8. P. 649.
- Zhukov M.V., Danilin B.V., Fedorov D.V. et al. // Phys. Rep. 1993. V. 231. P. 151.
- 10. Кукулин В.И., Краснопольский В.М., Миселхи М.А. и др. // ЯФ. 1981. Т. 34. С. 21; Kukulin V.I., Krasnopol'sky V.M., Miselkhi M.A. et al. // Sov. J. Nucl. Phys. 1981. V. 34. P. 21.
- Kukulin V.I., Krasnopol'sky V.M., Voronchev V.T. et al. // Nucl. Phys. A. 1986. V. 453. P. 365.
- 12. Фейнман Р., Хибс А. Квантовая механика и интегралы по траекториям. М.: Мир, 1968. 382 с.
- Блохинцев Д.И. Основы квантовой механики. М.: Наука, 1976. 664 с.
- 14. *Шуряк Э.В.* // УФН. 1984. Т. 143. С. 309; *Shuryak E.V.* // Sov. Phys. Usp. 1984. V. 27. P. 448.
- Shuryak E.V., Zhirov O.V. // Nucl. Phys. B. 1984.
   V. 242, P. 393.
- 16. Самарин В.В., Науменко М.А. // ЯФ. 2017. Т. 80. C. 473; Naumenko M.A., Samarin V.V. // Phys. Atom. Nucl. 2017. V. 80. P. 877.
- 17. *Самарин В.В., Науменко М.А.* // Изв. РАН. Сер. физ. 2016. Т. 80. С. 314; *Samarin VV., Naumenko M.A.* // Bull. Russ. Acad. Sci.: Phys. 2016. V. 80. P. 283.
- 18. Naumenko M.A., Samarin V.V. // Supercomp. Front. Innov. 2016. V. 3. P. 80.
- Ву Т.Ю., Омура Т. Квантовая теория рассеяния.
   М.: Наука, 1969. 451 с.
- 20. Satchler G.R., Love W.G. // Phys. Rep. 1979. V. 55. P. 183.
- Alvarez M.A.G., Chamon L.C., Pereira D. et al. // Nucl. Phys. A. 1999. V. 656. P. 187.
- 22. Харрисон У. Псевдопотенциалы в теории металлов. М.: Мир, 1968. 367 с.
- 23. NVIDIA CUDA. https://developer.nvidia.com/cudazone/.
- 24. Перепелкин Е.Е., Садовников Б.И., Иноземцева Н.Г. Вычисления на графич. процессорах (GPU) в задачах матем. и теор. физики. М.: Ленанд, 2014. 176 с.
- 25. *Сандерс Д., Кэндром Э.* Технология CUDA в примерах: введение в программирование графических процессоров. М.: ДМК, 2011. 232 с.
- 26. Гетерогенный кластер "HybriLIT" ЛИТ ОИЯИ. http://hybrilit.jinr.ru/.
- 27. Centre for Photonuclear Experiments Data (Skobelt-syn Institute of Nuclear Physics, Lomonosov Moscow State University). http://cdfe.sinp.msu.ru/services/radchart/radmain.html.
- 28. Загребаев В.И., Самарин В.В. // ЯФ. 2004. Т. 67. C. 1488; Zagrebaev V.I., Samarin V.V. // Phys. Atom. Nucl. 2004. V. 67. P. 1462.
- 29. *Самарин В.В.* // ЯФ. 2015. T. 78. C. 133; *Samarin V.V.* // Phys. Atom. Nucl. 2015. V. 78. P. 128.